Перепишем следствие 1.8, считая, что $2V_p(\alpha) - \|p\| > 0$

$$\Delta \le \frac{Q_p(T) + \frac{A(\alpha V_p(\alpha) - M_p(\alpha))}{T}}{2V_p(\alpha) - \|p\|}$$

Возьмем $p(x) = \frac{1-\cos x}{\pi x^2}$, тогда $\|p\| = 1$, $M_p(\alpha) = 0$,

$$Q_p(T) = \frac{1}{2\pi} \int_{-T}^{T} \left(1 - \frac{|t|}{T}\right) \frac{|f(t) - e^{\frac{-t^2}{2}}|}{t}\, dt$$

Имеем

$$\Delta \le \frac{1}{2\pi(2V_p(\alpha) - 1)} \int_{-T}^{T} \left(1 - \frac{|t|}{T}\right) \left|\frac{f(t) - e^{\frac{-t^2}{2}}}{t}\right| dt + \frac{\alpha V_p(\alpha)}{\sqrt{2\pi} T (2V_p(\alpha) - 1)} =$$

$$= \frac{1}{2\pi(2V_p(\alpha) - 1)} \int_{-T}^{T} \left(1 - \frac{|t|}{T}\right) \left|\frac{f(t) - e^{\frac{-t^2}{2}}}{t}\right| dt + \frac{\alpha}{2\sqrt{2\pi} T} \left(1 + \frac{1}{2V_p(\alpha) - 1}\right)$$

Лемма 1. $|\hat{f}_n(t)| \le e^{-t^2/4}$ *для* $|t| \le T_1 = \frac{1}{94L^3}$

Лемма 2. $|\hat{f}_n(t) - e^{-t^2/2}| \le 4L^3|t|^3 e^{-t^2/2}$ *для* $|t| \le T_0 = \frac{1}{3L}$

Рассмотрим случай $T_1 > T_0$. Это значит, что $\frac{1}{94L^3} > \frac{1}{3L}$ или $L < \sqrt{\frac{3}{94}}$. Мы хотим показать, что $\Delta \le C_0 L^3$, значит для всех $\hat{F}_n(x)$ с $L^3 > \frac{0.55}{C_0}$ оценка верна и остается доказать оценку для $L^3 < \frac{0.55}{C_0}$. Будем рассматривать C_0 такие, что $\frac{0.55}{C_0} < \sqrt{\frac{3}{94}}^3$, то есть которые укладываются в случай $T_1 > T_0$. Имеем $C_0 > \frac{0.55}{\sqrt{\frac{3}{94}}^3} = 96.4656\ldots$. $\Delta \le L^3 C(L, \alpha)$, где

$$C(L, \alpha) = C_1(\alpha) I(L) + C_2(\alpha),$$

$$C_1(\alpha) = \frac{1}{2\pi(2V_p(\alpha) - 1)},$$

$$I(L) = 4 \int_{-\frac{1}{3L}}^{\frac{1}{3L}} (1 - 94L^3|t|) t^2 e^{-t^2/2}\, dt + \int_{\frac{1}{3L} \le |t| \le \frac{1}{94L^3}} (1 - 94L^3|t|) \frac{e^{-t^2/2} + e^{-t^2/4}}{L^3|t|}\, dt,$$

$$C_2(\alpha) = \frac{94\alpha}{2\sqrt{2\pi}} \left(1 + \frac{1}{2V_p(\alpha) - 1}\right)$$

Построим графики $I(L)$ на $l \le L < \sqrt{\frac{3}{94}}$ при достаточно малом l, чтобы оценить сверху $I(L)$. Возьмем $l = 0.001$, шаг графика $h = 0.0005$:

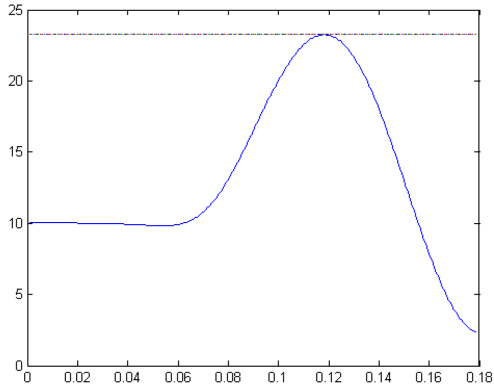

График функций $I(L)$ и $y(L) = 23.26$

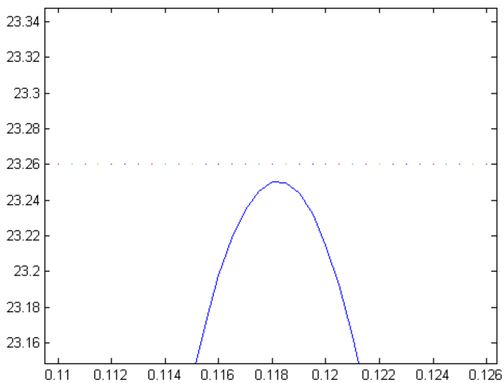

График тех же функций, увеличенное изображение

Рассмотрим поведение $I(L)$ при $L \to 0$. Вычислим первое слагаемое:

$$4\int_{-\frac{1}{3L}}^{\frac{1}{3L}}(1-94L^3|t|)t^2e^{-t^2/2}\,dt = 4\int_{-\frac{1}{3L}}^{\frac{1}{3L}} t^2e^{-t^2/2}\,dt - 4\cdot 94L^3\int_{-\frac{1}{3L}}^{\frac{1}{3L}}|t|^3e^{-t^2/2}\,dt \xrightarrow[L\to 0]{}$$

$$\{\text{второй интеграл сходится к некоторому конечному числу}\}$$

$$\xrightarrow[L\to 0]{} 4\int_{-\infty}^{\infty} t^2e^{-t^2/2}\,dt = 4\sqrt{2\pi} = 10.0265\ldots$$

Теперь докажем, что второе слагаемое $I(L)$ при $L \to 0$ стремится к 0.

Учитывая, что $e^{\frac{-t^2}{2}} \le e^{-\frac{1}{18L^2}}$, при $|t| > \frac{1}{3L}$, получаем:

$$\int_{\frac{1}{3L}<|t|<\frac{1}{94L^3}} \frac{1-94L^3|t|}{L^3|t|}\cdot e^{-\frac{t^2}{2}}\,dt \le \int_{\frac{1}{3L}<|t|<\frac{1}{94L^3}} \left(\frac{1}{3L^3}-94\right)\cdot e^{-\frac{1}{18L^2}}\,dt \le$$

$$\le \frac{1}{3L^2}\cdot 2\left(\frac{1}{94L^3}-\frac{1}{3L}\right)\cdot e^{-\frac{1}{18L^2}} \le \frac{\frac{1}{L^5}}{141\cdot e^{\frac{1}{18L^2}}} \longrightarrow 0$$

Нужно подобрать такое $l(\varepsilon)$:

$$\forall\varepsilon > 0\,\exists l(\varepsilon)\,\forall 0 < L \le l :$$

$$|I(L) - 4\sqrt{2\pi}| < \varepsilon$$

Таким образом, $I(L) \le 23.26$ при $0 < L \le \sqrt{\frac{3}{94}}$.

Осталось минимизировать $C_0(\alpha) = C_1(\alpha)\cdot 23.26 + C_2(\alpha)$ по $\alpha > \alpha_p$, где α_p — корень уравнения $2V_p(\alpha) - 1 = 0$. $\alpha_p = 1.6995\ldots$ (стр. 144). График $C_0(\alpha)$:

Иллюстрации

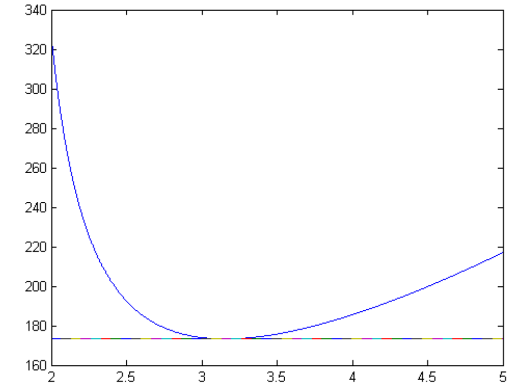

График функций $C_0(\alpha)$ и $y(\alpha) = 173.3$

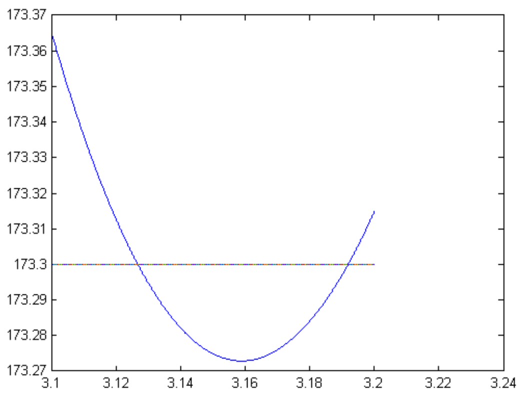

График тех же функций, увеличенное изображение

То есть $C_0 \leq 173.3$